

کنترل بهینه مدت زمان انتقال مداری پیشرانه کم

اصغر ابراهیمی^{۱*} و حمیدرضا فیاض بخش^۲

۱- عضو هیئت علمی دانشگاه صنعتی مالک اشتر

۲- گروه صنایع فضایی صایران

*تهران، میدان نوبتیاد، خ شهید لنگری

ebrahimi@mut.ac.ir

در طول عمر مفید ماهواره‌ها- بسته به مأموریت تعریف شده- به تعییر مدار کاری ماهواره نیاز است. این تعییر می‌تواند شامل تعییر ارتفاع، شبیب یا تعییر زاویه RAAN مدار ماهواره باشد. برای انجام این هدف، باید از پیشرانه‌هایی استفاده کرد. با توجه به وزن کم پیشرانه‌های الکتریکی در مواردی که محدودیت وزنی برای انتقال ماهواره به مدار وجود دارد از این پیشرانه‌ها استفاده می‌شود. در این پیشرانه‌ها خوبی و بیشتر بالا و مصرف سوخت پایین و مدت زمان این نوع انتقال زیاد است. زمانی که قدرت پیشرانه‌ها کافی باشد تعییر شبیب مدار در گره‌ها انجام می‌شود ولی در مانورهای پیشرانش کم، تعییر صفحه مدار به طور همزمان با تعییر ارتفاع انجام می‌شود. برای بهینه‌سازی مدت زمان این مانورها می‌توان از روش‌های میانگین‌گیری استفاده کرد. در این مقاله، سعی شده است تا این روش به منظور کنترل بهینه مدت زمان انجام انتقال، در موقعی که از پیشرانه‌های الکتریکی برای انجام این هدف به کار برده می‌شود، استفاده کنیم. در مانور پیشرانش کم با پیشرانش مداوم، مانور تعییر شبیب مدار و تعییر زاویه Ω مدار باید به طور همزمان با تعییر ارتفاع صورت پذیرد که این مستلزم استفاده از برنامه‌ای برای کنترل این مانور ترکیبی و یافتن متغیری برای کنترل این مانور است. متغیر کنترلی در اینجا زاویه خارج از صفحه پیشرانش است. با تعیین مشخصات پیشرانه (راندمان پیشرانه، توان الکتریکی ورودی و خوبی مخصوص پیشران مورد استفاده) پیشرانش خروجی را تعیین و با استفاده از این روش، مانور را در حداقل زمان انجام می‌دهیم. مدار اولیه و نهایی دایروی درنظر گرفته و فرض می‌شود موتور به شکل پیوسته کار کند در صورتی که ثتاب پیشرانشی در طول انتقال ثابت است.

واژگان کلیدی: انتقال پیشرانه کم، کنترل مدت زمان، روش میانگین‌گیری، زاویه پیشرانه، هامیلتونین

صفحه که به شکل تکه‌ای در هر دور ثابت بوده حاصل می‌شود. اولین بار، نتایج مطالعه خطی‌سازی مانور پیشرانش پایین، با فرض تعداد دور زیاد حول یک مرکز دارای جاذبه را Edlbaum^۳ در مرجع [۴] بیان کرد. بعد از آن مارک^۴ این روش را برای مدارهای بیضوی در تحقیقات خود ادامه داد [۵] و با همکاری مارک و وینه^۵ این نتایج کامل شد و به صورت تحقیقی علمی ارائه شد [۶]. سپس برای بهدست آوردن عبارت‌هایی که تغییرات پارامترهای انتقال را به طور یکنواخت برای هر

مقدمه

روش میانگین‌گیری برای کنترل انتقال مداری پیشرانش کم در مراجع [۱]، [۲] و [۳] آورده شده است. این روش برای کمینه‌سازی مدت زمان انتقال روش مناسبی است. متغیر کنترلی در این روش زاویه پیشرانش است. کنترل بهینه مدت زمان مانور مداری بین دو مدار دایروی شبیدار در مرجع [۱] با چرخاندن صفحه مدار حول خط گره‌ای نسبی بین مدار اولیه و نهایی با استفاده از زاویه پیشرانش خارج از

3. Edelbaum
4. Marec
5. Vinh

۱. استادیار (نویسنده مخاطب)
۲. کارشناسی ارشد

مدار ماهواره در بخش انتقال (V, i) و تغییر ارتفاع و زاویه Ω مدار ماهواره در بخش انتقال (Ω, V) می‌پردازیم و در پایان با روابط به دست آمده مسئله‌ای را به‌شکل بهینه حل و نتایج را به‌وسیله نمودار رسم می‌کنیم.

انتقال (V, i)

همان‌طور که از رابطه (۱) پیداست، تغییرات ارتفاع مدار تنها به زاویه پیشرانش مرتبط است. اما در رابطه (۲) می‌بینیم که تغییرات شیب تنها تابع زاویه پیشرانش نیست و به موقعیت زاویه‌ای نیز وابسته است. براساس روش میانگین‌گیری می‌توان برای تغییرات شیب در هر دور مداری مقدار میانگین درنظر گرفت. اگر زاویه پیشرانش را در هر دور تنها در دو نقطه تغییر داده و بین این دو نقطه زاویه پیشرانش ثابت باشد می‌توان با انتگرال گرفتن از رابطه (۲) بین این دو نقطه این مقدار میانگین را به دست آورد. برای تغییر شیب، $\theta = \pi/2 - \pi/2 = \pi/2$ را برای تغییر زاویه پیشرانش انتخاب می‌کنیم:

$$\ddot{i} = \frac{1}{2\pi} \int_0^{2\pi} \left(\frac{di}{dt} \right) dt = \frac{2f \sin \beta}{2\pi V} \int_{-\pi/2}^{\pi/2} \cos \theta d\theta = \frac{2f \sin \beta}{\pi V} (\lambda)$$

مقدار \ddot{A} را می‌توان به عنوان مقدار میانگین تغییرات شیب مدار در هر دور درنظر گرفت، که تنها تابع زاویه پیشرانش است. حال می‌توان تنها با کنترل زاویه پیشرانش مانور را بهینه‌سازی کرد. متغیرهای حالت شیب مدار α و سرعت ماهواره V و متغیر کنترلی زاویه β است. با توجه به معادلات $\dot{A} = \frac{2f}{\pi V} \sin \beta$ و $\dot{V} = -f \cos \beta$ برای تغییرات لحظه‌ای سرعت و شیب، هامیلتونین را به‌شکل زیر می‌نویسیم:

$$H = 1 + \lambda_i \left(\frac{2f}{\pi V} \sin \beta \right) + \lambda_V (-f \cos \beta) \quad (9)$$

هدف ما به دست آوردن حداقل زمان انتقال با در دست داشتن شرایط اولیه i_0 ، V_0 و شرایط نهایی i_f و V_f است. تابع معیار به صورت زیر تعریف می‌شود:

$$J = \int_{t_f}^{t_0} dt \quad (10)$$

شرایط لازم برای بهینه شدن سیستم به صورت زیر است:

$$\frac{\partial H}{\partial i} = 0 \Rightarrow \dot{\lambda}_i = 0 \quad (11)$$

$$\frac{\partial H}{\partial V} = 0 \Rightarrow \dot{\lambda}_V = \frac{2}{\pi} \cdot \frac{\sin \beta}{V^2} \quad (12)$$

$$\frac{\partial H}{\partial \beta} = 0 \Rightarrow \tan \beta = -\frac{2}{\pi} \cdot \frac{\lambda_i}{V \lambda_V} \quad (13)$$

معادلات (۱۱) و (۱۲) معادلات کمک حالت است و معادله (۱۳) قانون کنترل بهینه است. با توجه به شرط نوستجی^۶ و اینکه هامیلتونین تابعی

6. Transversality

نوع انتقالی نشان دهد فرمول‌های آورده شد که در مرجع [۷] آمده است. در مراجع [۸] و [۹] نیز برای حل مسائل مشکل‌تر، با درنظرداشتن محدودیت‌های واقعی مانند عدم کروی بودن زمین و درنظر گرفتن پارامتر J با رویکرد آنالیزی و عددی این کار انجام شده است.

همچنین در مراجع [۱۰] و [۱۱] به کنترل بهینه مانور مداری پیشرانش پایین برای دو حالت با محدودیت زمانی و بدون محدودیت زمانی پرداخته شده است.

مانور مداری پیشرانش کم

در این مقاله، به منظور بررسی تغییرات لحظه‌ای پارامترهای مدار با کنترل کردن زاویه پیشرانش از روش تحلیلی ادلیام ذکر شده در مرجع [۱۲] استفاده می‌شود. مطابق این روش در معادلات لاگرانژ پیشرانش، زاویه‌ای درون صفحه مدار ندارد، بنابراین مؤلفه مماسی پیشرانش را صفر می‌گیریم. همچنین برای مشخص کردن مکان در مدار از موقعیت زاویه‌ای متوسط (α) استفاده شده است. فرم گاووسی معادلات نجومی لاگرانژ برای مدارهای تزدیک به دایروی در این روش به‌شکل زیر خلاصه می‌شود:

$$\dot{a} = \frac{2af_t}{V} \quad (1)$$

$$\dot{i} = \frac{f_h \cos \alpha}{V} \quad (2)$$

$$\dot{\Omega} = \frac{f_h \sin \alpha}{V \sin i} \quad (3)$$

$$\dot{\alpha} = n - \frac{f_h \sin \alpha}{V \tan i} \quad (4)$$

$$f_t = f \cos \beta \quad (5)$$

$$f_h = f \sin \beta \quad (6)$$

در معادلات فوق، f_t مؤلفه پیشرانش در جهت مماس، f_h مؤلفه پیشرانش در جهت نرمال، β زاویه خارج از صفحه پیشرانش و α موقعیت زاویه‌ای متوسط است. زمانی که پیشرانش درون صفحه مداری زاویه‌ای نداشته باشد، مسیر مارپیچ کاملاً دایروی است و هر دور مداری را می‌توان یک دایره درنظر گرفت. بنابراین خروج از مرکز صفر بوده و می‌توان نوشت:

$$\alpha = M + \omega = \omega + \theta^* = \theta \quad (7)$$

در این رابطه، M آنومالی متوسط، θ^* آنومالی حقیقی و θ موقعیت زاویه‌ای است. در نتیجه در معادلات (۱) تا (۴) به جای α می‌توان θ قرار داد.

با توجه به مأموریت‌های مختلف ماهواره‌ها در این مقاله، بنا به کاربرد، ابتدا به بررسی جدگانه انتقال تغییر ارتفاع و تغییر شیب

انتقال (V, Ω)

هدف در این بخش، انتقال از حالت اولیه (V_0, Ω_0) به حالت نهایی (V_f, Ω_f) بدون تغییر شبیه مدار است. در رابطه (۳) می‌بینیم. تغییرات زاویه Ω نیز مانند شبیه به موقعیت زاویه‌ای وابسته است. در این بخش نیز باید مقداری میانگین برای تغییرات زاویه Ω در هر دور پیدا کرد. نقاط مناسب برای تغییر زاویه پیشرانش در این انتقال می‌گیریم.

$$\tilde{\Omega} = \frac{1}{2\pi} \int_0^{2\pi} \left(d\Omega / dt \right) d\theta = \frac{2}{2\pi} \int_0^{\pi} \frac{f \sin \beta \sin \theta}{V \sin i} d\theta = \frac{2f \sin \theta}{\pi V \sin i} \quad (25)$$

مقدار $\tilde{\Omega}$ را می‌توان به عنوان میانگین تغییرات زاویه Ω در هر دور مداری در نظر گرفت. با توجه به روابط $\dot{V} = -f \cos \beta$ و $\dot{\Omega} = \frac{2f \sin \beta}{\pi V \sin i}$ برای تغییرات لحظه‌ای سرعت و زاویه Ω هامیلتونین را به شکل زیر می‌نویسیم:

$$H = 1 + \lambda_V (-f \cos \beta) + \lambda_\Omega \frac{2f \sin \beta}{\pi V \sin i} \quad (26)$$

شرط لازم برای بهینه شدن سیستم به صورت زیر است:

$$\frac{\partial H}{\partial V} = 0 \Rightarrow \lambda_V = \frac{2f \sin \beta}{\pi V^2 \sin i} \lambda_\Omega \quad (27)$$

$$\frac{\partial H}{\partial \Omega} = 0 \Rightarrow \lambda_\Omega = 0 \quad (28)$$

$$\frac{\partial H}{\partial \beta} = 0 \Rightarrow \tan \beta = -\frac{2}{\pi V \sin i} \cdot \frac{\lambda_\Omega}{\lambda_V} \quad (29)$$

معادلات (۲۷) و (۲۸)، معادلات کمک حالت و معادله (۲۹)، معادلات کمک حالت و معادله (۲۰)، قانون کنترل بهینه است. همانند بخش قبل با توجه به شرط نوسنگی و اینکه هامیلتونین، تابعی از زمان نیست، پس می‌توان گفت هامیلتونین در کل انتقال برابر صفر است. بنابراین:

$$\lambda_V = \frac{\cos \beta}{f} \quad (30)$$

$$\lambda_\Omega = -\frac{\pi V \sin \beta \sin i}{2f} \quad (31)$$

بطور مشابه با بخش قبل ادامه می‌دهیم:

$$\dot{V} = -f \cos \beta = -f(\pm) \sqrt{1 - \sin^2 \beta} = \mp \frac{f \sqrt{V^2 - V_0^2 \sin^2 \beta}}{V} \quad (32)$$

$$\Delta V = \sqrt{V_0^2 - 2VV_0 \cos \left(\frac{\pi}{2} \sin i \Delta \Omega \right) + V^2}$$

از زمان نیست، بنابراین در تمام مدت برابر صفر است.

$$H(t_f) = H = 0 \quad (14)$$

در نتیجه از معادله (۱۲) داریم:

$$\lambda_V = \frac{\cos \beta}{f} \quad (15)$$

$$\lambda_i = -\frac{\pi}{2f} V \sin \beta = \text{const.} \quad (16)$$

با توجه به ثابت بودن پیشرانش در طول انتقال از رابطه بالا نتیجه $V \sin \beta$ ثابت است یعنی:

$$V \sin \beta = V_0 \sin \beta_0 = \text{const.} \quad (17)$$

بدین ترتیب مقدار β در لحظه اولیه تعیین می‌شود:

$$\tan \beta_0 = \frac{\sin(\frac{\pi}{2} \Delta i)}{\frac{V_0}{V_f} - \cos(\frac{\pi}{2} \Delta i)} \quad (18)$$

$$\Delta i = |i_f - i_0| \quad (19)$$

قانون کنترل بهینه با توجه به i_0 و λ_V به شکل زیر مقدار β را در هر لحظه تعیین می‌کند:

$$\tan \beta = \frac{V_0 \sin \beta_0}{V_0 \cos \beta_0 - f \cdot t} \quad (20)$$

به وسیله معادله بالا و با توجه به ثابت بودن $V \sin \beta$ در هر لحظه تعیین می‌شود:

$$V = \sqrt{V_0^2 + f^2 t^2 - 2f \cdot t \cdot V_0 \cos \beta_0} \quad (21)$$

تغییر شبیه در هر لحظه به وسیله زاویه β مشخص می‌شود:

$$\Delta i = \frac{2}{\pi} \left[\tan^{-1} \left(\frac{f \cdot t - V_0 \cos \beta_0}{V_0 \sin \beta_0} \right) + \frac{\pi}{2} - \beta_0 \right] \quad (22)$$

تغییر سرعت مورد نیاز برای انتقال نیز به شکل زیر به دست می‌آید:

$$\begin{aligned} \Delta V &= V_0 \cos \beta_0 - \frac{V_0 \sin \beta_0}{\tan(\frac{\pi}{2} \Delta i + \beta_0)} \\ &= \sqrt{V_0^2 - 2V_0 V_f \cos \frac{\pi}{2} \Delta i + V_f^2} \end{aligned} \quad (23)$$

با توجه به اینکه $t = f \cdot t$ است، بنابراین با مشخص شدن تغییرات سرعت، زمان نهایی انتقال به دست می‌آید:

$$T_f = \frac{\Delta V}{f} \quad (24)$$

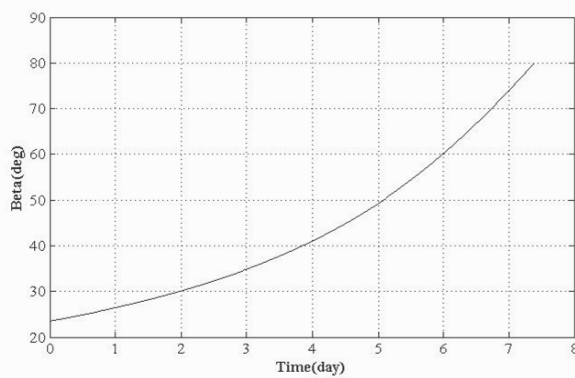
معادلات (۲۰)، (۲۱) و (۲۲) تغییرات زاویه پیشرانش، سرعت و زاویه شبیه مدار را در هر لحظه و معادلات (۲۳) و (۲۴) سرعت مورد نیاز برای انتقال و زمان نهایی انتقال را مشخص می‌کنند.

پیشرانه (راندمان پیشرانه، ضربه مخصوص پیشران مورد استفاده و توان خروجی) براساس رابطه زیر است [۱۳]:

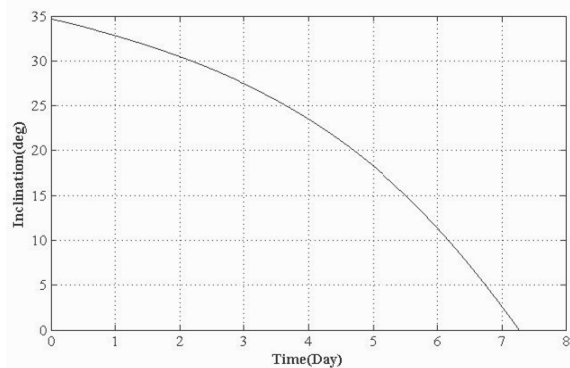
$$\dot{m} = \frac{2\eta \cdot p}{(gI_{sp})^2} \quad (38)$$

نیروی پیشرانه خروجی از حاصل ضرب دبی جریان خروجی و ضربه مخصوص پیشران مورد استفاده به دست می‌آید. در این مانور از پیشرانه‌ای با راندمان $5/5$ ، توان الکتریکی 800 وات و پیشرانی با ضربه مخصوص 831 ثانیه استفاده شده است. در نتیجه نیروی پیشرانش خروجی از این پیشرانه برابر $10/0$ نیوتون یا s^2/km است.

با استفاده از این پیشرانش و مشخصات مدار اولیه و نهایی و با توجه به رابطه (۱۵)، زاویه پیشرانش اولیه برابر $\beta_0 = 23.5^\circ$ به دست می‌آید، با $\Delta V = 6.38 km/s$ (مقدار در رابطه (۲۴)) و $\Delta i = 35^\circ$ (مقدار این مدار را در رابطه (۲۱) محاسبه می‌شود. حداقل مدت زمان مورد نیاز برای این انتقال به وسیله رابطه (۲۵)، 63800 ثانیه معادل 7.284 روز تعیین می‌شود. با قرار دادن β_0 در رابطه (۲۱) مقدار β به شکل تابعی از زمان به دست می‌آید که در پایان زمان انتقال این مقدار برابر 79.82° باشد. در انتقال A، زاویه پیشرانش برای حداقل سازی مدت زمان انتقال نسبت به زمان در شکل (۱) آورده شده است، همچنین ارتفاع و شیب مدار، برای این انتقال به صورت تابعی از زمان در شکل‌های (۲) و (۳) آورده شده است.



شکل ۱- تغییرات زاویه پیشرانش بهینه نسبت زمان برای انتقال A



شکل ۲- تغییرات شیب مدار ماهواره نسبت به زمان برای انتقال A

$$V = \sqrt{V_0 + f^2 t^2 - 2f \cdot t \cdot V_0 \cos \beta_0}$$

زاویه پیشرانش بهینه با توجه به قانون کنترل بهینه از رابطه (۲۹) به شکل زیر به دست می‌آید:

$$\tan \beta = \frac{V_0 \sin \beta_0}{V_0 \cos \beta_0 - f \cdot t} \quad (33)$$

معادلات کمک حالت را نیز می‌توان به شکل زیر بازنویسی کرد:

$$\lambda_V = \frac{V_0 \cos \beta_0 - f \cdot t}{f \cdot V}, \quad \lambda_V = \frac{\cos \beta}{f} \quad (34)$$

$$\Delta \Omega = \frac{2}{\pi \sin i} \left[\tan^{-1} \left(\frac{f \cdot t - V_0 \cos \beta_0}{V_0 \sin \beta_0} \right) + \frac{\pi}{2} - \beta_0 \right] \quad (35)$$

مقدار β را از رابطه زیر جایگزین می‌کنیم:

$$\tan \beta_0 = \frac{\sin(\frac{\pi}{2} \sin i \Delta \Omega_t)}{\frac{V_0}{V_f} - \cos(\frac{\pi}{2} \sin i \Delta \Omega_t)} \quad (36)$$

با مقایسه رابطه به دست آمده برای Δi ، می‌توان مشاهده کرد بین تغییر شیب مدار و تغییر زاویه Ω مدار رابطه زیر وجود دارد:

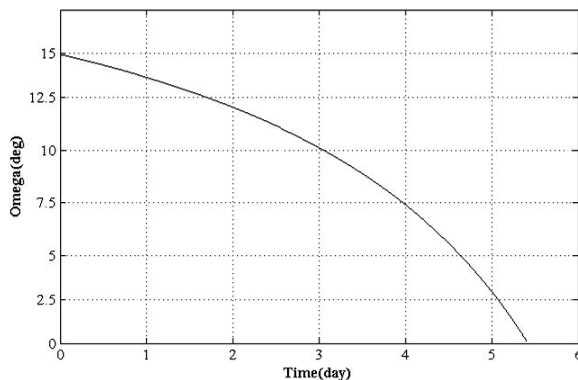
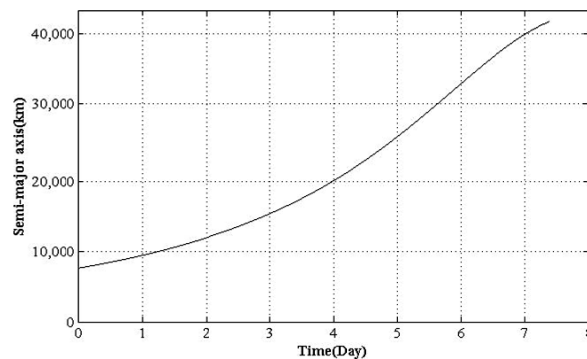
$$\Delta i = \sin i \Delta \Omega \quad (37)$$

شبیه‌سازی و حل عددی مسئله

در این قسمت دو مأموریت به طور نمونه برای انتقال‌های (i) (V, i) و (ii) (V, Ω) با نام‌های A و B تعریف می‌کنیم. مشخصات این دو انتقال در جدول (۱) و نتایج به دست آمده در جدول (۲) آورده شده است. در انتقال A در نظر داریم، ماهواره‌ای را از مدار ارتفاع پایین⁷ با ارتفاع 500 کیلومتر (نیم قطر اصلی $a_{01} = 6878 km$) و با شیب $i_{01} = 35^\circ$ به مدار زمین آهنگ⁸ با ارتفاع 36000 کیلومتر (نیم قطر اصلی $a_{02} = 42378 km$) و شیب $i_{02} = 0^\circ$ منتقل کنیم. در این انتقال شیب و ارتفاع مدار ماهواره تغییر می‌کند و با توجه به استفاده از پیشرانه قدرت کم با پیشرانش مداوم، برای انجام این انتقال امکان تغییر شیب مدار در گره‌ها نیست و باید تغییر شیب به طور همزمان با تغییر ارتفاع صورت پذیرد. با توجه به نتایج به دست آمده در بخش (i) (V, i) برای انجام بهینه و کم هزینه تر این مانور به کنترل زاویه پیشرانش در انتقال باید پرداخت. در صورت استفاده از پیشرانه الکتریکی برای این هدف، مشخصات این پیشرانه تأثیری مستقیم در نیروی پیشرانش خروجی و زمان انتقال خواهد داشت. رابطه دبی جریان خروجی با مشخصات

7. Low Earth Orbit (LEO)

8. Geo Orbit (GEO)

شکل ۵- تغییرات زاویه Ω مدار نسبت به زمان برای انتقال B

شکل ۳- تغییرات ارتفاع مدار ماهواره نسبت به زمان برای انتقال A

نتیجه گیری

در این مقاله، مانورهای تغییر ارتفاع و تغییر صفحه مداری ماهواره، طی یک مانور پیشranش کم بهوسیله پیشرانه الکترونیکی با استفاده از روش میانگین گیری بهینه سازی شد. این کار با کنترل زاویه پیشranش به عنوان متغیر کنترلی انجام شد تا بین دو وسیله مدت زمان انجام این مانورها به حداقل برسد. این کار در دو بخش تحت عنوان انتقال (۱)، (V, Ω) و انتقال (V, Ω) انجام شد که در انتقال اول ارتفاع و شیب مدار و در انتقال دوم ارتفاع و زاویه RAAN مدار به طور همزمان تغییر می کنند. مدت زمان انتقال بهینه شده برای هر مورد در جدول (۲) و نحوه تغییر زاویه پیشranش به عنوان متغیر کنترلی در نمودارهایی که به دنبال آمده پیداست.

جدول ۱- مشخصات انتقال‌های A و B

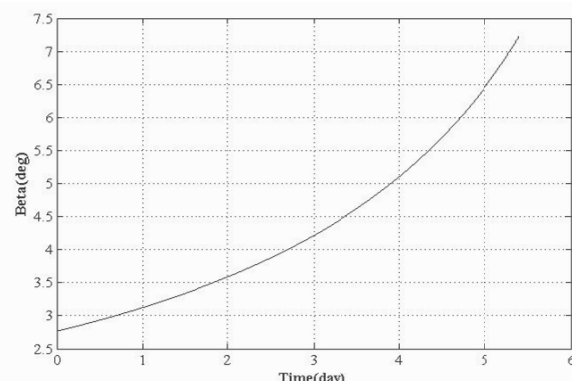
Ω (deg)	i (deg)	a (km)	مدار	مورد
آزاد	۳۵	۶۸۷۸	اولیه	A
آزاد	۰	۴۲۳۷۸	نهایی	
۱۵	۱۰	۶۸۷۸	اولیه	B
۰	۱۰	۴۲۳۷۸	نهایی	

جدول ۲- نتایج بهینه سازی انتقال‌های A و B

زمان انتقال (day)	(km/s)	(deg)	(deg)	مورد
۷/۳۸۴	۶/۳۸	۷۹/۸۲	۲۳/۵	A
۵/۳۹۶	۴/۶۶	۷/۲۱	۲/۷۷	B

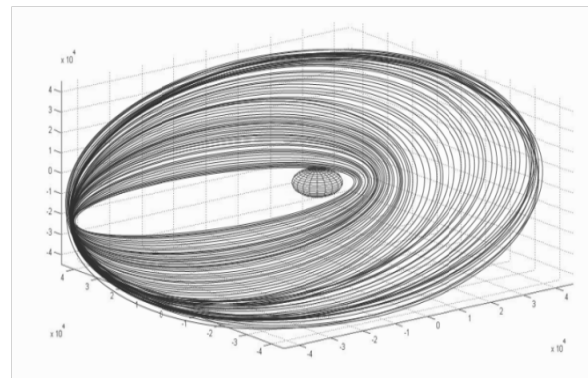
در انتقال B می خواهیم ماهواره را از مداری LEO با ارتفاع ۵۰۰ کیلومتر (نیم قطر اصلی $a_0 = 6878$ km) و با صفحه مداری $\Omega_0 = 15^\circ$ به مدار GEO با ارتفاع ۳۶۰۰۰ کیلومتر (نیم قطر اصلی $\Omega_f = 0^\circ$) منتقل کنیم. در این انتقال، زاویه RAAN و ارتفاع مدار ماهواره تغییر می کند و شیب مدار اولیه و نهایی برابر $i = 10^\circ$ است. در این انتقال نیز از پیشرانهای با مشخصات مشابه مورد A استفاده می کنیم. با توجه به استدلال ارائه شده در بخش (V, Ω) به منظور انجام بهینه این مانور به کنترل زاویه پیشranش می پردازیم.

با استفاده از پیشranش $0/0^\circ$ نیوتون و مشخصات مدار اولیه و نهایی و با توجه به رابطه (38) زاویه پیشranش اولیه برابر $\beta_0 = 2/77^\circ$ به دست می آید. با قراردادن این مقدار، f ، V_0 در رابطه (33) ، زاویه β بهینه به شکل تابعی از زمان به دست می آید که این به شکل یک منحنی در شکل (4) آمده است. مدت زمان این انتقال بهوسیله رابطه (25) ۴۶۶۳۰۰ ثانیه معادل $5/396$ روز تعیین می شود. مقدار نهایی β در انتهای زمان انتقال $7/21$ درجه است. همچنین زاویه Ω صفحه مدار نسبت به زمان برای انتقال B به شکل تابعی از زمان در نمودار (5) آورده شده است.



شکل ۴- تغییرات زاویه پیشranش بهینه نسبت به زمان برای انتقال B

- [5] Marec, J. P., “*Trajectories Spatial Optimal*,” Cours de l’ENSAE, Course of ENSAE, Toulouse, 1973.
- [6] Marec, J. P. and Vinh, N. X., “Optimal Low-Thrust Limited-Power Transfers Between Arbitrary Elliptical Orbits” *Acta Astronaut*, Vol. 4, No. 5-6, 1977, pp. 511-540.
- [7] Kechichian, J. A., ‘Reformulation of Edelbaum’s Low-Thrust Transfer Problem Using Optimal Control Theory,’ *Journal of Guidance, Control, and Dynamics*, Vol. 20, No. 5, 1997, pp.988-994.
- [8] Kechichian, J. A., “Optimal Altitude-Constrained Low-Thrust Transfer Between Inclined Circular Orbits,” *The Journal of the Astronautical Sciences*, Vol. 54, No.3 and 4, 2006, pp. 458-503.
- [9] Kechichian, J. A., “Optimal Low-Thrust Transfer in General Circular Orbit Using Analytic Averaging of System Dynamics,” F. Landis Markley Astronautics Symposium, AAS Paper 08-272 Cambridge, MD, June 29-July 2, 2008
- [10] Marec, J. P., “*Optimal Space Trajectories*,” Elsevier Scientific Publishing Company, 1979.
- [11] Vallado, D. A., *Fundamentals of Astrodynamics and Application, Space Technology Library*, Second Edition, 2001.
- [12] Chobotov, V. A., *Orbital Mechanics, AIAA Education Series*, Second Edition, 1996.
- [13] King, S. T., Walker, M. L. R. and Kluever, C. A., “Small Satellite LEO Maneuvers with Low-Power Electric Propulsion”, AIAA, 092407, 2008.



شکل ۶- نمودار سه بعدی انتقال مداری مورد A

مراجع

- [1] Edelbaum, T. N. “Propulsion Requirements for Controllable Satellite” *ARS Journal*, Vol. 31, 1961, pp. 1079-1089.
- [2] Edelbaum, T. N., *Theory of Maxima and Minima, Optimization Techniques with Application to Aerospace Systems*, Academic, New York, 1962, pp. 1-32.
- [3] Wiesel, W. E. and Alfano, S. “Optimal Many-Revolution Orbit Transfer,” *Journal of Guidance, Control, and Dynamics* (ISSN 0731-5090), Vol. 8, Jan.-Feb. 1984, pp. 155-157.
- [4] Edelbaum, T. N., “Optimum Power-Limited Orbit Transfer in Strong Gravity Fields,” *AIAA Journal*, Vol. 3, Issue 5, 1965, pp. 921-925